

## Probleme von diskreten LODs

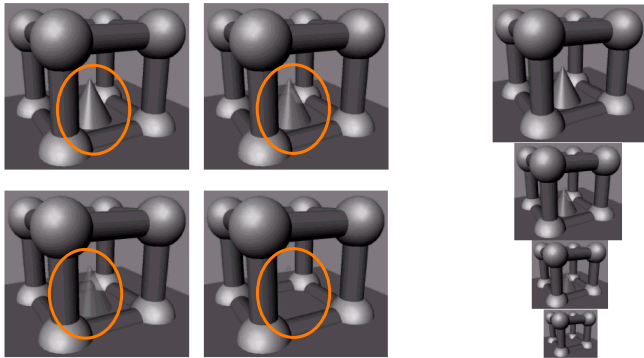
- "Popping" beim Umschalten zwischen Levels
- Maßnahmen gegen "Popping":
  - Hysterese
  - Alpha-Blending der beiden benachbarten LOD-Stufen
    - Man kommt vom Regen in die Traufe ;-)
  - Kontinuierliche, view-dependent LODs
- Wie funktioniert der Funkhouser-Sequin-Algo mit kontinuierlichen LODs?

Diplomarbeit ...

G. Zachmann Virtuelle Realität und Simulation – WS 09/10 Real-time Rendering 30

## Alpha-LODs

- Einfache Idee, um Popping zu vermeiden:  
when beyond a certain range, fade out object until gone



G. Zachmann Virtuelle Realität und Simulation – WS 09/10 Real-time Rendering 31

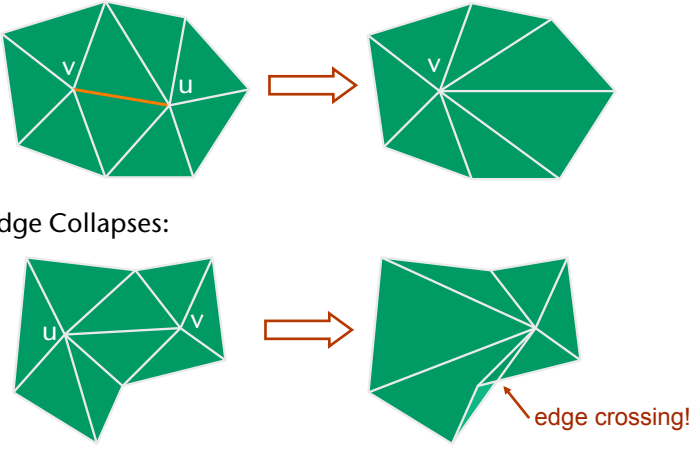
## Progressive Meshes

- A.k.a. **Geomorph-LODs**
- Idee:
  - Gegeben zwei Meshes (LODs desselben Objektes)  $M_i$  und  $M_{i+1}$
  - Erzeuge ein Mesh  $M'$  "zwischen" diesen beiden
- Definition: **Progressive Mesh** = Repräsentation eines Objektes, ausgehend von einem hoch-aufgelösten Mesh  $M_0$ , mit Hilfe derer man (fast) stufenlos zwischen 1 Polygon und  $M_0$  "Zwischen-Meshes" generieren kann (möglichst schnell).

G. Zachmann Virtuelle Realität und Simulation – WS 09/10 Real-time Rendering 32

## Erzeugung von Progressive Meshes

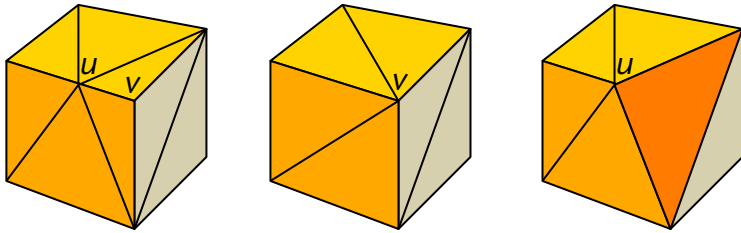
- **Simplifizierung (simplification)**
- Grundlegende Operation: *edge collapse*



- **Bad Edge Collapses:**

G. Zachmann Virtuelle Realität und Simulation – WS 09/10 Real-time Rendering 33

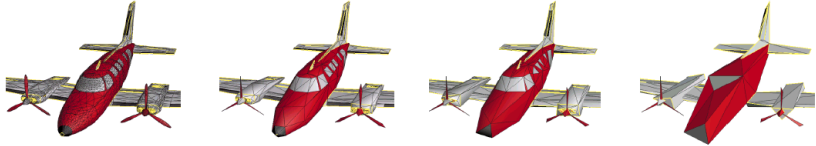
- Reihenfolge der Edge Collapses:
  - Führe Bewertung eines Edge-Collapses ein, die visuellen Effekt "misst"



- Führe zunächst Edge Collapses mit kleinster Auswirkung aus
- Nach jedem Schritt müssen im Prinzip alle Kanten neu bewertet werden

G. Zachmann Virtuelle Realität und Simulation – WS 09/10
Real-time Rendering 34

- Bewertungsfunktion für Edge-Collapses ist nicht trivial und, vor allem, wahrnehmungsbasiert!
- Beeinflussende Faktoren:
  - Krümmung der Kanten / Fläche
  - Beleuchtung, Texturierung, Viewpoint (Highlights!)
  - Bedeutung der Geometrie (Augen & Mund sind besonders wichtig)
- Beispiel eines Progressive Mesh:



G. Zachmann Virtuelle Realität und Simulation – WS 09/10
Real-time Rendering 35

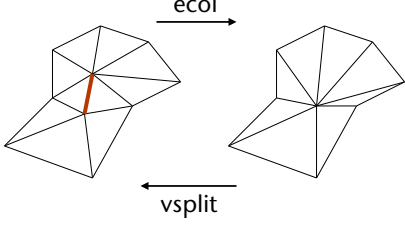
■ Repräsentation eines Progressive Meshes:

$$M = M^n \xrightleftharpoons[\text{vsplit}_{n-1}]{\text{ecol}_{n-1}} \dots \xrightleftharpoons[\text{vsplit}_1]{\text{ecol}_1} M^1 \xrightleftharpoons[\text{vsplit}_0]{\text{ecol}_0} M^0$$

■  $M^{i+1} = i$ -te Verfeinerung (refinement) = 1 Vertex mehr als  $M^i$

■ Repräsentation eines Edge Collapse / Vertex Split:

- Betroffenes Paar von Vertices (Kante)
- Position des "neuen" Vertex
- Dreiecke, die gelöscht / eingesetzt werden



G. Zachmann Virtuelle Realität und Simulation – WS 09/10 Real-time Rendering 36

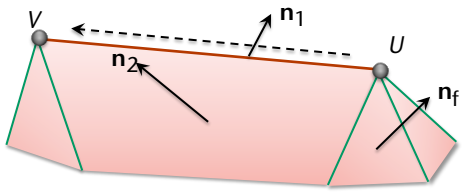
■ Eine einfache Bewertungsfunktion

■ Heuristik:

- Kleine Kanten zuerst entfernen
- Einen Vertex  $U$  auf einen Vertex  $V$  ziehen, falls die Fläche um  $U$  eine geringe (diskrete) Krümmung hat

■ Ein einfaches Kostenmaß für einen Edge-Collapse von  $U$  auf  $V$ :

$$\text{cost}(U, V) = \|U - V\| \cdot \text{curv}(U)$$

$$\text{curv}(U) = \frac{1}{2} \left( 1 - \min_{f \in T(U) \setminus T(V)} \max_{i=1,2} \mathbf{n}_f \cdot \mathbf{n}_i \right)$$


G. Zachmann Virtuelle Realität und Simulation – WS 09/10 Real-time Rendering 37

- Bemerkung:  $\text{cost}(U, V) \neq \text{cost}(V, U)$
- Beispiel:
 

Erwünscht →

ORIGINAL

Erst später →

B to A

B to C

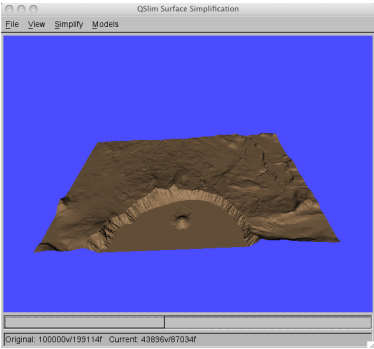
A to C

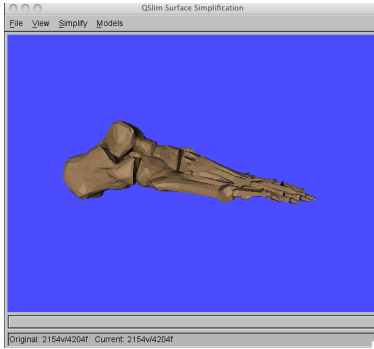
A to B

C to A

C to B

## Demo





[Michael Garland: Qslim]

G. Zachmann Virtuelle Realität und Simulation – WS 09/10 Real-time Rendering 39

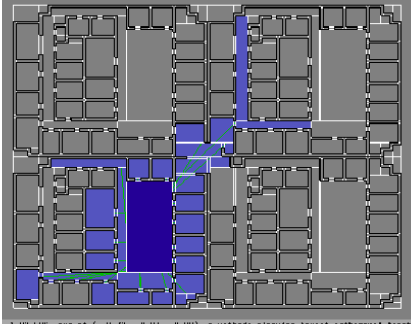
## Exkurs: andere LODs

- Idee: LOD-Technik auf nicht-geometrische Inhalte anwenden
- Z.B. "*Behavioral LOD*":
  - Simuliere Verhalten eines Objektes exakt, wenn im Fokus, sonst nur "grob"

G. Zachmann Virtuelle Realität und Simulation – WS 09/10 Real-time Rendering 40

## Culling in Gebäuden (*portal culling*)

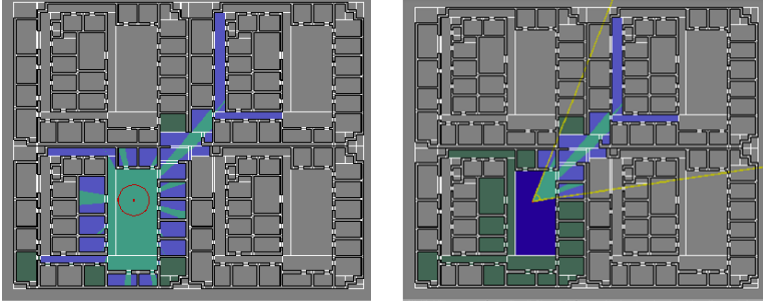
- Beobachtung: viele Räume innerhalb des Viewing-Frustums sind nicht sichtbar
- Idee:
  - Unterteile Raum in "*Zellen*"
  - Berechne *Cell-to-Cell-Visibility* im voraus



Das Diagramm zeigt einen Grundriss eines Gebäudes mit mehreren Räumen. Ein zentraler Raum ist in einem dunkelblauen Farbton hervorgehoben, was den Fokus darstellt. Um dieses Zentrum herum sind verschiedene andere Räume angeordnet, die durch graue Wände voneinander getrennt sind. Dies illustriert die Idee der 'Cell-to-Cell-Visibility', bei der die Sichtbarkeit zwischen benachbarten Zellen im Voraus berechnet wird, um das Rendering zu optimieren.

G. Zachmann Virtuelle Realität und Simulation – WS 09/10 Real-time Rendering 41

- Von bestimmtem Viewpoint aus ist innerhalb der Zelle noch weniger sichtbar:



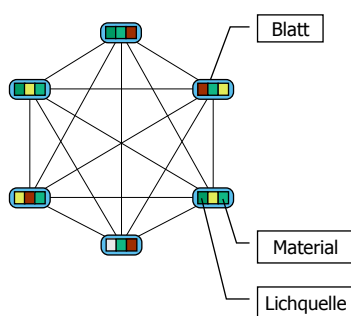
G. Zachmann Virtuelle Realität und Simulation – WS 09/10 Real-time Rendering 42

## State Sorting

- State = Zustand =
  - Zusammenfassung aller Attribute 
  - Beispiele für Attribute: Farbe, Material, Lighting-Param., Textur, Blend-Fkt., Shader-Programm, etc.
  - Jedes Attribut hat zu jedem Zeitpunkt genau 1 Wert aus einer endlichen Menge
- State-Wechsel sind einer der Performance-Killer
- Kosten: 
  - Matrix-Stack-Modifikation
  - Lighting-Modifikation
  - Textur-Modifikation
  - Shader-Programm-Modifikation
- Ziel: kompletten Szenengraphen mit minimaler Anzahl State-Wechsel rendern
- "Lösung": Pre-Sorting

G. Zachmann Virtuelle Realität und Simulation – WS 09/10 Real-time Rendering 43

- Problem: die optimale Lösung ist NP-vollständig
- Denn:
  - Jedes Blatt ist ein Knoten in einem vollständigen Graphen,
  - Kosten einer Kante = Kosten der State-Wechsel (verschiedene State-Wechsel kosten verschieden viel, z.B. sind neue Trafos relativ billig),
  - Gesucht: kürzester Weg  
→ *Traveling Salesman Problem*
- Weiteres Problem: klappt nicht bei dynamischen Szenen und Occlusion Culling

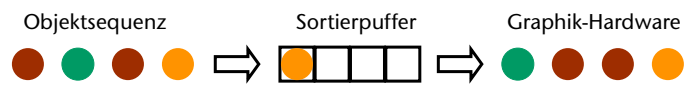


Blatt
Material
Lichtquelle

G. Zachmann Virtuelle Realität und Simulation – WS 09/10 Real-time Rendering 44

## Der Sorting-Buffer

- Idee & Abstraktion:
  - Betrachte nur ein Attribut ("Farbe")
  - Schalte Buffer zwischen App. und Graphikkarte
  - Buffer enthält Elemente mit verschiedenen Farben
  - Pro Schritt eine von drei Operationen:
    - Element direkt an Graphikkarte weiterreichen
    - Element lesen und in Buffer schreiben
    - Teilmenge aus Buffer löschen und an Graphikkarte schicken



Objektsequenz
Sortierpuffer
Graphik-Hardware

G. Zachmann Virtuelle Realität und Simulation – WS 09/10 Real-time Rendering 45

- Zwei Algorithmen-Klassen:
  - "Online"-Algorithmen: Algo kennt *nicht* zukünftige Elemente!
  - "Offline"-Algorithmen: Algo kennt *alle* Elemente, muß aber trotzdem Buffer verwenden
- Betrachte nur "lazy" online-Strategie:
  - Elemente werden nur bei Buffer-Overflow aus Buffer entfernt
  - Jede nicht-lazy Online-Strategie läßt sich in eine lazy Strategie mit gleichen Kosten umwandeln
- Frage: welche Elemente muß man bei Buffer-Overflow auswählen, damit minimale Anzahl Farbwechsel auftritt?

G. Zachmann Virtuelle Realität und Simulation – WS 09/10 Real-time Rendering 46

### Competitive Analysis

- Definition *c-competitive* :
  - Sei  $C_{off}(k)$  die Kosten (Anzahl Farbwechsel) der optimalen Offline-Strategie,  $k$  = Buffer-Größe.
  - Sei  $C_{on}(k)$  die Kosten der Online-Strategie.
  - Dann heißt diese Strategie "*c-competitive*" gdw.
$$C_{on}(k) = c \cdot C_{off}(k) + a$$

wobei  $a$  von  $k$  unabhängig ist.
- Gesucht: Online-Strategie mit möglichst kleinem  $c$  (im worst-case, und – wichtiger noch – im average case)

G. Zachmann Virtuelle Realität und Simulation – WS 09/10 Real-time Rendering 47

■ Beispiel: LRU (least-recently used)

- Strategie:
  - Pro Farbe ein Timestamp (**nicht pro Element!**)
  - Element wird in Buffer geschrieben → Timestamp seiner Farbe wird auf aktuelle Zeit gesetzt
    - Achtung: dabei können die Timestamps anderer Elemente im Buffer auch aktualisiert werden
  - Buffer-Overflow: entferne Elemente, deren Farbe ältesten Timestamp hat
- Untere Schranke für die Competitive-Ratio:  $\Omega(\sqrt{k})$
- Beweis durch Beispiel:
  - Setze  $m = \sqrt{k - 1}$ , oBdA  $m$  gerade
  - Wähle die Eingabe  $(c_1 \cdots c_m x^k c_1 \cdots c_m y^k)^{\frac{m}{2}}$
  - Kosten der **Online**-LRU-Strategie:  $(m + 1) \cdot 2 \cdot m/2 > k$  Farbwechsel
  - Kosten der **Offline**-Strategie: Ausgabe  $(x^k y^k)^{\frac{m}{2}} c_1^m \cdots c_m^m$   
→  $2m$  Farbwechsel

G. Zachmann Virtuelle Realität und Simulation – WS 09/10 Real-time Rendering 48

■ Bounded-Waste- & Random-Choice-Strategie

- Idee: zähle Platzbedarf jeder Farbe im Buffer über die gesamte bisherige Zeit aufsummiert
- Führe Waste-Zähler  $W(c)$  ein:
  - Bei Farbwechsel: erhöhe  $W(c)$  um Anzahl Elemente im Buffer mit Farbe  $c$
- Bounded-Waste-Strategie:
  - Bei Buffer-Overflow entferne alle Elemente mit Farbe  $c'$ , mit  $W(c')$  maximal
- Competitive Ratio (o.Bew.):  $O \log^2 k$
- Random-Choice-Strategie:
  - Randomisierte Version von Bounded-Waste
  - Wähle uniform zufälliges Element aus Buffer, entferne alle Elemente mit derselben Farbe
  - Damit: häufige Farbe wird häufiger ausgewählt, über die Zeit ergibt sich gerade  $W(c)$

G. Zachmann Virtuelle Realität und Simulation – WS 09/10 Real-time Rendering 49

## Round-Robin-Strategie

- Problem: Generierung guter Zufallszahlen dauert rel. lange
- RR-Strategie:
  - Variante von Random-Choice
  - Wähle nicht zufälligen Slot im Buffer, sondern den gemäß eines Pointers
  - Pointer wird in Round-Robin-Manier weitergeschaltet

G. Zachmann Virtuelle Realität und Simulation – WS 09/10 Real-time Rendering 50

## Vergleich

- Fazit:
  - Round-Robin ist sehr gut (obwohl sehr einfach)
  - Worst-Case sagt sehr wenig über prakt. Perf.



state changes vs buffer size

rendering time [msec] vs buffer size

G. Zachmann Virtuelle Realität und Simulation – WS 09/10 Real-time Rendering 51

### Stereo ohne 2x rendern (einfaches Image-Warping)

- Beobachtung: linkes und rechtes Bild unterscheiden sich wenig
- Idee: 1x für rechts rendern, dann Pixel verschieben
- Algo: betrachte alle Pixel auf jeder Scanline *von rechts nach links*, zeichne Pixel  $k$  an neuer  $x$ -Pos.

$$x'_k = x_k + \frac{i}{\Delta} \frac{z_k}{z_k + z_0}, \quad \Delta = \text{Pixelbreite}$$

- Probleme:
  - Löcher!
  - Up-Vektor muß senkrecht sein
  - Reflexionen und specular highlights sind an falscher Pos
  - Aliasing

G. Zachmann Virtuelle Realität und Simulation – WS 09/10 Real-time Rendering 52

### Image Warping

- Ein naives VR-System:

- Latenz in diesem System (Stereo mit 60 Hz → Display-Refresh = 120 Hz):

G. Zachmann Virtuelle Realität und Simulation – WS 09/10 Real-time Rendering 53

- Probleme / Beobachtungen:
  - Die Appl.-Framerate (inkl. Rendering) ist typischerweise viel langsamer als die Display-Refresh-Rate
  - Die Tracking-Werte, die zu einem bestimmten Bild geführt haben, liegen sehr weit in der Vergangenheit
  - Der Tracker könnte wesentlich öfter aktuelle Werte liefern
  - Die Frames unterscheiden sich (normalerweise) rel. wenig voneinander (**temporal coherence**)

G. Zachmann Virtuelle Realität und Simulation – WS 09/10 Real-time Rendering 54

### Lösungsidee [2009]

- Entkopple Simulation / Animation, Rendering, und Geräte-Abfrage:

G. Zachmann Virtuelle Realität und Simulation – WS 09/10 Real-time Rendering 55

### Ein Application-Frame (client)

- Der App.-Renderer rendert zu einem Zeitpunkt  $t_1$  ein ganz normales Frame
  - Color-Buffer und Z-Buffer
- ... und speichert **zusätzlich** einige Informationen:
  - zu jedem Pixel eine Obj-ID, das dort sichtbar ist
  - die Kamera-Transformationen zum Zeitpunkt  $t_1$

$$T_{t_1, cam \leftarrow img} \quad , \quad T_{t_1, wld \leftarrow cam}$$

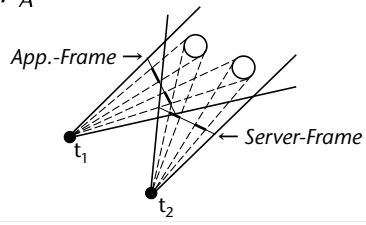
- zu jedem Obj  $i$  die Transformation

$$T_{t_1, obj \leftarrow wld}^i$$

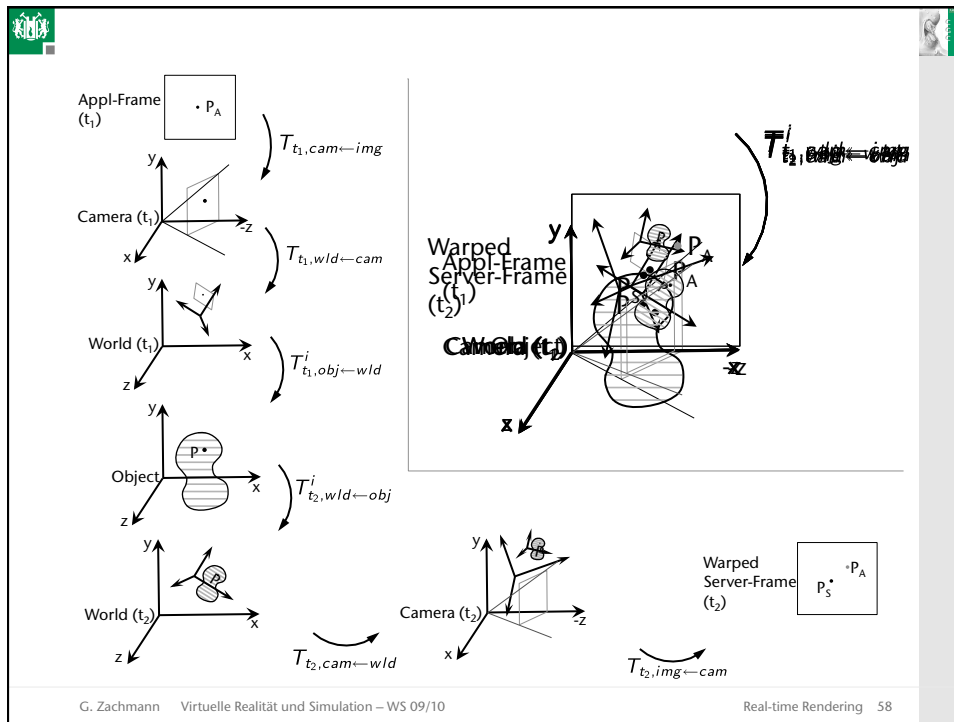
G. Zachmann Virtuelle Realität und Simulation – WS 09/10 Real-time Rendering 56

### Warping eines Frames (server)

- Zu einem späteren Zeitpunkt  $t_2$  generiert der Server ein Bild aus dem Application-Frame mittels **Warping**
- Transformationen zu diesem Zeitpunkt:
 
$$T_{t_2, wld \leftarrow obj}^i \quad T_{t_2, img \leftarrow cam} \quad T_{t_2, cam \leftarrow wld}$$
- Ein Pixel  $P_A$  (aus dem App.-Frame) wird damit an die richtige Stelle im Server-Frame "gewarped":
 
$$P_S = T_{t_2, img \leftarrow cam} \cdot T_{t_2, cam \leftarrow wld} \cdot T_{t_2, wld \leftarrow obj}^i \cdot T_{t_1, obj \leftarrow wld}^i \cdot T_{t_1, wld \leftarrow cam} \cdot T_{t_1, cam \leftarrow img} \cdot P_A$$
- Diese Transf.-Matrix kann man zu Beginn eines Server-Frames für jedes Objekt vorberechnen



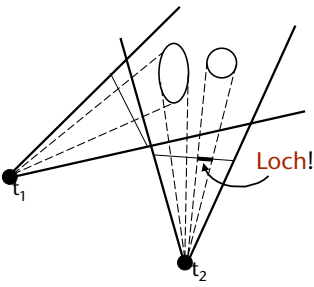
G. Zachmann Virtuelle Realität und Simulation – WS 09/10 Real-time Rendering 57



## Bewertung

- Implementierung des Warpings:
  - Im Vertex-Shader
    - Geht nicht im Fragment-Shader, da dort Output-Pos. festgelegt ist !
  - Warping Renderer lädt FBO des App.-Frames in Textur, dito alle  $T_i$ 's
  - Rendere 1024x1024 viele GL\_POINTS (sog. Point-Splats)
- Vorteile:
  - Die Frames sind wesentlich aktueller (Kamera und Obj-Pos.!)
  - Server-Framerate ist unabhängig von Anzahl Polygone

- Probleme:
  - Löscher im Server-Frame
  - Server-Frames sehen unscharf aus (wg. Point-Splats)
  - Wie groß sollen die Point-Splats sein? (kann man zwar abschätzen, aber ...)
  - Wann die App.-Renderer-Framerate zu langsam, dann werden die Server-Frames doch zu schlecht
  - Leere Stellen an den Rändern des Servers-Frames (evtl. View-Frustum im Client vergrößern)
- Performance-Gewinn:
  - 12 Mio Polygone, 800 x 600
  - ca.(!) Faktor 20 schneller



G. Zachmann Virtuelle Realität und Simulation – WS 09/10 Real-time Rendering 60

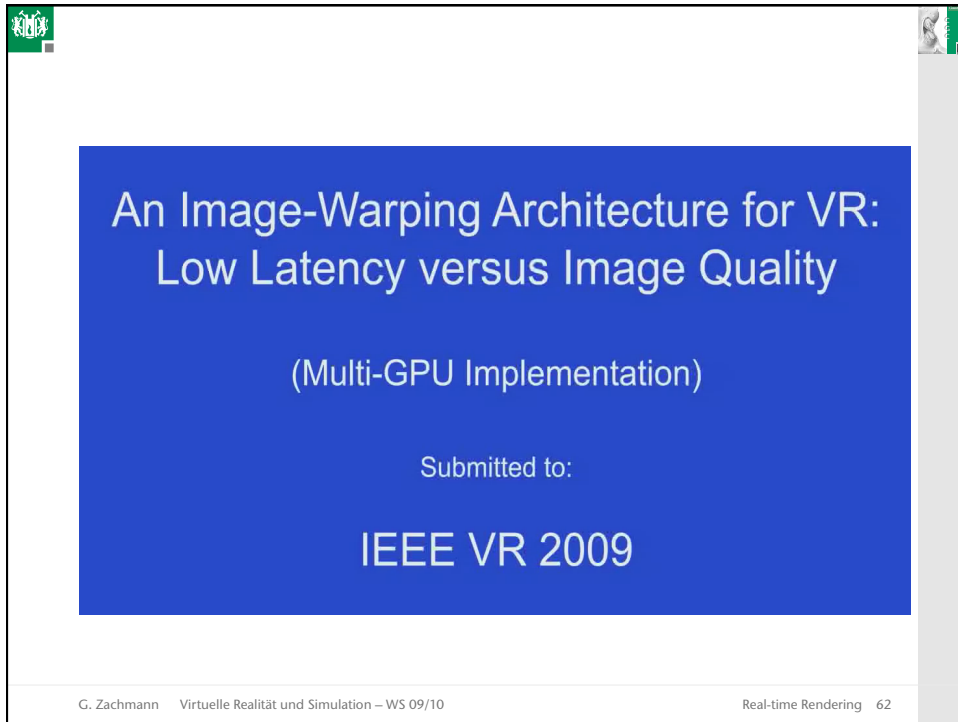
## Videos

An Image-Warping Architecture for VR:  
Low Latency versus Image Quality

(Single-GPU Implementation)

Submitted to:  
IEEE VR 2009

G. Zachmann Virtuelle Realität und Simulation – WS 09/10 Real-time Rendering 61



An Image-Warping Architecture for VR:  
Low Latency versus Image Quality

(Multi-GPU Implementation)

Submitted to:

IEEE VR 2009

G. Zachmann Virtuelle Realität und Simulation – WS 09/10 Real-time Rendering 62

The slide features a central blue rectangle with white text. The text is centered and reads: 'An Image-Warping Architecture for VR: Low Latency versus Image Quality (Multi-GPU Implementation) Submitted to: IEEE VR 2009'. At the bottom of the slide, there is a footer with the text 'G. Zachmann Virtuelle Realität und Simulation – WS 09/10 Real-time Rendering 62'. There are small logos in the top-left and top-right corners.



G. Zachmann Virtuelle Realität und Simulation – WS 09/10 Real-time Rendering 63

This slide is mostly empty, showing only the footer text 'G. Zachmann Virtuelle Realität und Simulation – WS 09/10 Real-time Rendering 63' at the bottom. It has the same small logos in the top-left and top-right corners as the previous slide.

